

**ЛАМИНАРНЫЙ ПОГРАНИЧНЫЙ СЛОЙ В РАСТВОРЕ ЭЛЕКТРОЛИТА  
ПРИ НАЛИЧИИ СКРЕЩЕННЫХ МАГНИТНОГО И ЭЛЕКТРИЧЕСКОГО ПОЛЕЙ**

*И. Б. Чекмарев, Чжан Син-мо*

(Ленинград)

Рассматривается плоский ламинарный пограничный слой на полубесконечной пластине ( $y = 0, x \geq 0$ ), обтекаемой потоком несжимаемой жидкости с заданной скоростью  $u_\infty = u_0 u_1(x)$ , где  $u_0$  — некоторый масштаб скорости, а  $u_1(x)$  — безразмерная функция  $x$ . На поверхности пластины поддерживается постоянная концентрация  $c_0$  раствора электролита, так что в результате диффузии во внешний поток около пластины образуется электропроводный слой. Это позволяет при помощи внешних магнитного и электрического полей воздействовать на распределение скоростей в пограничном слое.

Коэффициент электропроводности раствора  $\sigma$  является функцией концентрации и для сильных электролитов достаточно хорошо аппроксимируется формулой

$$\frac{\sigma}{\sigma_0} = \frac{c}{c_0} \frac{a - b \sqrt{c}}{a + b \sqrt{c}} \quad (a, b = \text{const}) \quad (1)$$

Ограничимся случаем малых концентраций, когда плотность и вязкость жидкости можно считать постоянными, а электропроводность — линейной функцией концентрации. Кроме того, при исследовании потоков растворов электролитов в магнитном и электрическом полях можно пренебречь всеми индукционными эффектами вследствие их малости и использовать закон Ома в форме [1]

$$j = \sigma E \quad (2)$$

где  $E$  — напряженность внешнего электрического поля.

Положим, что магнитное поле  $B$  параллельно оси  $y$ , а электрическое поле  $E$  направлено противоположно оси  $z$  (фиг. 1) и введем безразмерные переменные и параметры согласно соотношениям

$$\begin{aligned} \bar{x} &= \frac{xu_0}{v}, & \bar{y} &= \frac{yu_0}{v}, & \bar{u} &= \frac{u}{u_0}, & \bar{c} &= \frac{c}{c_0}, & \bar{T} &= \frac{T - T_0}{T_0}, \\ \bar{v} &= \frac{\eta}{\rho}, & S &= \frac{v}{D}, & P &= \frac{\eta C}{\lambda}, & \alpha &= \frac{\sigma_0 EB}{\rho u_0^3} \\ \beta &= \frac{\sigma_0 E^2 v}{\rho C u_0^2 T_0} = \alpha \theta e, & \theta &= \frac{u_0^2}{CT_0}, & e &= \frac{E}{Bu_0} \end{aligned} \quad (3)$$

где  $\eta$ ,  $\lambda$ ,  $D$  — соответственно коэффициенты вязкости, теплопроводности и диффузии;  $\rho$  — плотность;  $C$  — удельная теплоемкость раствора;  $T_0$  — температура пластины, предполагаемая равной температуре внешнего потока,  $S$  — число Шмидта,  $P$  — число Прандтля.

Тогда, используя известные предположения теории пограничного слоя, получим следующие исходные уравнения задачи (черточки над безразмерными величинами далее опускаются):

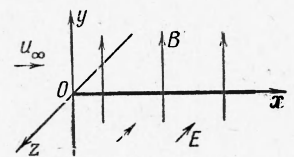
$$\begin{aligned} u \frac{\partial u}{\partial x} + v \frac{\partial u}{\partial y} &= u_1 \frac{du_1}{dx} + \frac{\partial^2 u}{\partial y^2} + \alpha c, & \frac{\partial u}{\partial x} + \frac{\partial v}{\partial y} &= 0 \\ u \frac{\partial c}{\partial x} + v \frac{\partial c}{\partial y} &= \frac{1}{S} \frac{\partial^2 c}{\partial y^2}, & u \frac{\partial T}{\partial x} + v \frac{\partial T}{\partial y} &= \frac{1}{P} \frac{\partial^2 T}{\partial y^2} + \beta c \end{aligned} \quad (4)$$

с граничными условиями

$$\begin{aligned} u = v = 0, & \quad c = 1, & \quad T = 0 & \quad \text{при } y = 0 \\ u \rightarrow u_1, & \quad c \rightarrow 0, & \quad T \rightarrow 0 & \quad \text{при } y \rightarrow \infty \end{aligned} \quad (5)$$

Заметим, что в зависимости от направления электрического поля параметр  $\alpha$  может принимать как положительные, так и отрицательные значения, в то время, как параметр  $\beta$  существенно положительный.

В случае отсутствия внешнего потока движение жидкости около пластины будет обусловлено только действием магнитного и электрического полей. Если поля однородны, то существует автомодельное преобразование, сводящее исходную систему нелинейных уравнений в частных производных к системе обыкновенных дифференциальных уравнений.



Фиг. 1

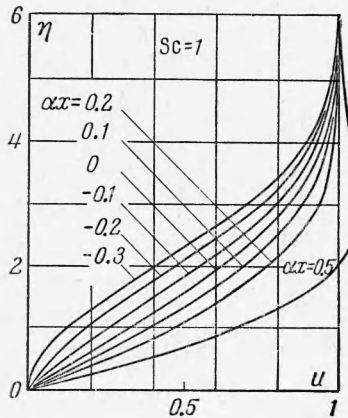
Действительно, введем функцию тока  $\psi$  и положим

$$u_0 = \frac{E}{B}, \quad \psi = \frac{4P_m^{1/4}}{\sqrt{2\varepsilon_a}} x^{3/4} f(\eta), \quad c = \varphi(\eta), \quad \eta_i = \frac{P_m^{1/4}}{\sqrt{2\varepsilon_a}} \frac{y}{x^{1/4}} \quad (6)$$

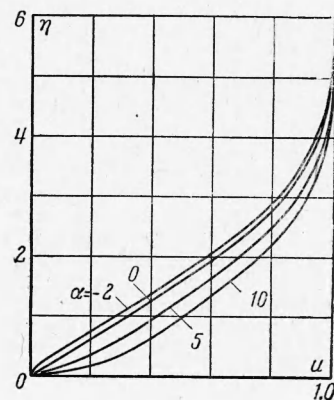
где

$$P_m = v\sigma\mu, \quad \varepsilon_a = \frac{E}{v_a B}, \quad v_a = \frac{B}{\sqrt{\mu\rho}} \quad (7)$$

Уравнение неразрывности при этом будет удовлетворяться, а уравнения движения



Фиг. 2



Фиг. 3

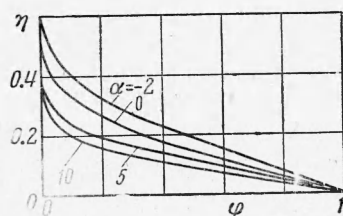
ния и диффузии можно преобразовать к следующему виду ( $\alpha = P_m / \varepsilon_a^2$ )

$$f''' + 3ff'' - 2f'^2 + \varphi = 0, \quad \varphi'' + 3S/\varphi' = 0 \quad (8)$$

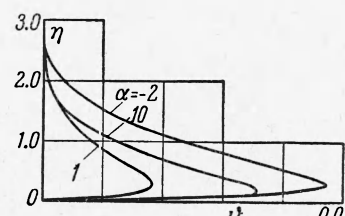
со следующими граничными условиями:

$$\begin{aligned} f &= f' = 0, & \varphi &= 1 & \text{при } \eta = 0 \\ f' &\rightarrow 0, & \varphi &\rightarrow 0 & \text{при } \eta \rightarrow \infty \end{aligned} \quad (9)$$

Система уравнений (8) с граничными условиями (9) исследовалась при разных значениях числа  $S$  в связи с классической задачей о свободной конвекции вязкой жидкости около вертикальной нагретой пластины (см., например, [2]).



Фиг. 4



Фиг. 5

Для случая однородных магнитного и электрического полей автомодельное решение имеет место также при обтекании пластины потоком с постоянным продольным перепадом давления ( $u_1 = \sqrt{x}$ ).

Однако при обтекании пластины внешним однородным потоком ( $u_1 = 1$ ) в однородных полях автомодельного преобразования не существует. При малых значениях параметра  $\alpha$  решение задачи можно получить, как и в работе [3], в виде рядов по степеням  $\alpha x$ , полагая

$$\begin{aligned} \psi &= \sqrt{x} [f_0(\eta) + (\alpha x) f_1(\eta) + (\alpha x)^2 f_2(\eta) + \dots] & \left( \eta = \frac{y}{\sqrt{x}} \right) \\ \varphi &= \varphi_0(\eta) + (\alpha x) \varphi_1(\eta) + (\alpha x)^2 \varphi_2(\eta) + \dots \end{aligned} \quad (10)$$

В представлениях (10) коэффициенты разложения  $f_i$  и  $\varphi_i$  считаются функциями только переменной  $\eta$ .

По формуле  $u = f_0' + (\alpha x)f_1'$  был произведен расчет распределения скоростей для чисел Шмидта  $S = 10^3$  и  $S = 1$ . При  $S = 10^3$ , когда толщина диффузионного электропроводного слоя составляет примерно одну десятую толщины вязкого пограничного слоя, изменения профиля скоростей незначительны. В случае  $S = 1$ , когда толщины обоих слоев примерно одинаковы, наблюдается сильное влияние электромагнитной силы на распределение скоростей (фиг. 2).

Автомодельное решение при обтекании пластины внешним однородным потоком может быть получено, если принять [4], что напряженности магнитного и электрического полей изменяются по закону  $x^{-1/2}$ .

Вводя переменные

$$\psi = \sqrt{x}f(\eta), \quad c = \varphi(\eta), \quad T = \theta(\eta), \quad \eta = \frac{y}{\sqrt{x}} \quad (11)$$

преобразуем исходную систему (4) к виду

$$2f''' + ff'' + 2\alpha\varphi = 0, \quad 2\varphi'' + Sf\varphi' = 0, \quad 2\theta'' + Pf\theta' + 2P\beta\varphi = 0 \quad (12)$$

с граничными условиями

$$\begin{aligned} f &= f' = \theta = 0, & \varphi &= 1 & \text{при } \eta = 0 \\ f' &\rightarrow 1, & \varphi &\rightarrow 0, & \theta &\rightarrow 0 & \text{при } \eta \rightarrow \infty. \end{aligned} \quad (13)$$

Второе и третье уравнения системы (12) интегрируются в общем виде. Получаем

$$\varphi = 1 - \int_0^\eta \exp \left[ -\frac{S}{2} \int_0^\eta f d\eta \right] d\eta / \int_0^\infty \exp \left[ -\frac{S}{2} \int_0^\eta f d\eta \right] d\eta \quad (14)$$

$$\begin{aligned} \theta &= \beta P \left\{ \int_0^\eta \exp \left[ -\frac{P}{2} \int_0^\eta f d\eta \right] d\eta \left( \int_0^\infty \exp \left[ -\frac{P}{2} \int_0^\eta f d\eta \right] d\eta \right)^{-1} \times \right. \\ &\quad \times \int_0^\infty \exp \left[ -\frac{P}{2} \int_0^\eta f d\eta \right] \left( \int_0^\eta \varphi \exp \left[ \frac{P}{2} \int_0^\eta f d\eta \right] d\eta \right) d\eta - \\ &\quad \left. - \int_0^\eta \exp \left[ -\frac{P}{2} \int_0^\eta f d\eta \right] \left( \int_0^\eta \varphi \exp \left[ \frac{P}{2} \int_0^\eta f d\eta \right] d\eta \right) d\eta \right\} \end{aligned} \quad (15)$$

При помощи (14) первое уравнение (12) численно решалось методом последовательных приближений, причем за нулевое приближение принималось решение Блязиуса. Вычисленные для числа Шмидта  $S = 10^3$  и числа Прандтля  $P = 7$  и некоторых значений параметра  $\alpha$  распределения скоростей, концентраций и температур приведены на фиг. 3—5.

Поступила 15 X 1962

#### ЛИТЕРАТУРА

1. Кирко И. М. Особенности магнитогидродинамических явлений в жидким металлах и электролитах. Рига, Тр. Ин-та физики, 1961, вып. 12.
2. Шлихтин Г. Теория пограничного слоя. М., ИЛ, 1956.
3. Rossow V. J. On flow of electrically conducting fluids over a flat plate in the presence of a transverse magnetic field. NACA, Report 1358, 1958.
4. Лайкаудис П. С. Об одном классе магнитных ламинарных пограничных слоев. Сб. Движущаяся плазма. ИЛ, 1961, стр. 481.